

# Обработка последовательностей: модели внимания и трансформеры

К. В. Воронцов  
[vokov@forecsys.ru](mailto:vokov@forecsys.ru)

Этот курс доступен на странице вики-ресурса  
<http://www.MachineLearning.ru/wiki>  
«Машинное обучение (курс лекций, К.В.Воронцов)»

МФТИ • 10 марта 2023

## 1 Задачи обработки последовательностей

- Рекуррентная сеть
- Рекуррентная сеть с моделью внимания
- Прикладные задачи

## 2 Разновидности моделей внимания

- Разновидности функций сходства
- Многомерное и иерархическое внимание
- Модель внимания на графах GAT

## 3 Трансформеры

- Архитектура трансформера
- Трасформер для машинного перевода
- Трасформер BERT

## Напоминание. Рекуррентная сеть (RNN)

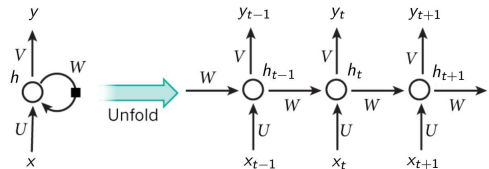
$x_t$  — входной вектор в момент  $t = 1, \dots, T$

$h_t$  — вектор скрытого состояния в момент  $t$

$y_t$  — выходной вектор (в некоторых приложениях  $y_t \equiv h_t$ )

$$h_t = \sigma_h(Ux_t + Wh_{t-1})$$

$$y_t = \sigma_y(Vh_t)$$



Обучение рекуррентной сети:  $\sum_{t=0}^T \mathcal{L}_t(U, V, W) \rightarrow \min_{U, V, W}$

- длины входного и выходного сигнала обязаны совпадать
- невозможно заглядывание вперёд
- не подходит для многих задач (МТ, QA и др.)

## Рекуррентная сеть для синтеза последовательностей (seq2seq)

$X = (x_1, \dots, x_n)$  — входная последовательность

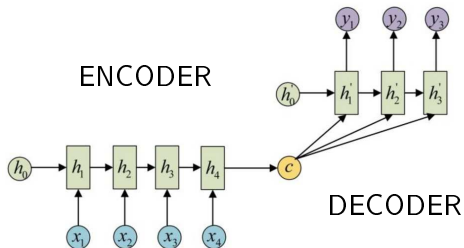
$Y = (y_1, \dots, y_m)$  — выходная последовательность

$c \equiv h_n$  кодирует всю информацию про  $X$  для синтеза  $Y$

$$h_i = f_{\text{in}}(x_i, h_{i-1})$$

$$h'_t = f_{\text{out}}(h'_{t-1}, y_{t-1}, c)$$

$$y_t = f_y(h'_t, y_{t-1})$$



- $h_n$  лучше помнит конец последовательности, чем начало
- чем больше  $n$ , тем труднее упаковать всю информацию в  $c$
- придётся контролировать затухание/взрывы градиента
- RNN трудно распараллеливается

## Рекуррентная сеть с вниманием (attention mechanism)

$a(h, h')$  — функция сходства состояний входа  $h$  и выхода  $h'$

$\alpha_{ti}$  — важность входа  $i$  для выхода  $t$  (attention score),  $\sum_i \alpha_{ti} = 1$

$c_t$  — вектор входного контекста для выхода  $t$  (context vector)

$$h_i = f_{\text{in}}(x_i, h_{i-1})$$

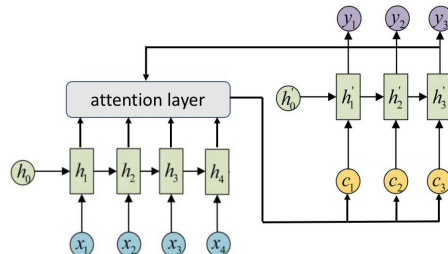
$$\alpha_{ti} = \text{norm}_i a(h_i, h'_{t-1})$$

$$c_t = \sum_i \alpha_{ti} h_i$$

$$h'_t = f_{\text{out}}(h'_{t-1}, y_{t-1}, c_t)$$

$$y_t = f_y(h'_t, y_{t-1}, c_t)$$

$$\text{здесь и далее } \text{norm}_i(p_i) = \frac{p_i}{\sum_k p_k}$$



- можно отказаться от рекуррентности как по  $h_i$ , так и по  $h'_t$
- можно вводить обучаемые параметры в  $a$  и  $c$

## Применения моделей внимания

Преобразование одной последовательности в другую, seq2seq:

- Машинный перевод (machine translation)
- Ответы на вопросы (question answering)
- Суммаризация текста (text summarization)
- Описание изображений, аудио, видео (multimedia description)
- Распознавание речи (speech recognition)
- Синтез речи (speech synthesis)

Обработка последовательности:

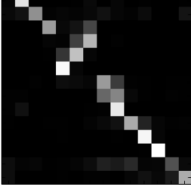
- Классификация текстовых документов
- Анализ тональности документа / предложений / аспектов

## Применения моделей внимания в машинном переводе

L'accord sur la zone économique européenne a été signé en août 1992

The agreement on the European Economic Area was signed in August 1992

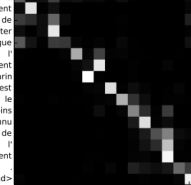
<end>

A 2D heatmap showing attention weights between words in the source sentence and words in the target sentence. The matrix is roughly triangular, with higher values along the diagonal and some off-diagonal peaks corresponding to common words like 'the' and 'a'.

Il convient de noter que l'environnement marin est le moins connu de l'environnement

It should be noted that the marine environment is the least known of environments

<end>

A 2D heatmap showing attention weights between words in the source sentence and words in the target sentence. The matrix is roughly triangular, with higher values along the diagonal and some off-diagonal peaks corresponding to common words like 'the' and 'a'.

Cela va changer mon avenir avec ma famille " a dit l'homme

This will change my future with my family , the man said .

<end>

A 2D heatmap showing attention weights between words in the source sentence and words in the target sentence. The matrix is roughly triangular, with higher values along the diagonal and some off-diagonal peaks corresponding to common words like 'the' and 'a'.

## Интерпретируемость моделей внимания:

При обработке конкретной последовательности  $x$  визуализация матрицы  $\alpha_{ti}$  показывает, на какие слова  $x_i$  модель обращает внимание, генерируя слово перевода  $y_t$

## Модели внимания на изображениях для генерации описаний



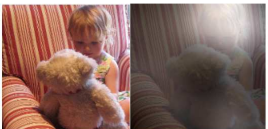
A woman is throwing a frisbee in a park.



A dog is standing on a hardwood floor.



A stop sign is on a road with a mountain in the background.



A little girl sitting on a bed with a teddy bear.



A group of people sitting on a boat in the water.



A giraffe standing in a forest with trees in the background.

При генерации каждого слова в описании изображения визуализация показывает, на какие области изображения модель обращает внимание, генерируя данное слово

---

*Kelvin Xu et al.* Show, attend and tell: neural image caption generation with visual attention. 2016

## Разновидности функций сходства векторов

$a(h, h') = h^T h'$  — скалярное произведение

$a(h, h') = \exp(h^T h')$  — тогда norm превращается в SoftMax

$a(h, h') = h^T W h'$  — с матрицей обучаемых параметров  $W$

$a(h, h') = w^T \text{th}(Uh + Vh')$  — аддитивное внимание с  $w, U, V$

Линейные преобразования векторов query, key, value:

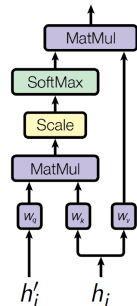
$$a(h_i, h'_{t-1}) = (W_k h_i)^T (W_q h'_{t-1}) / \sqrt{d}$$

$$\alpha_{ti} = \text{SoftMax}_i a(h_i, h'_{t-1})$$

$$c_t = \sum_i \alpha_{ti} W_v h_i$$

$W_q$   $d \times \text{dim}(h')$ ,  $W_k$   $d \times \text{dim}(h)$ ,  $W_v$   $d \times \text{dim}(h)$  — матрицы весов линейных нейронов (обучаемые линейные преобразования в пространство размерности  $d$ )

Возможно упрощение модели:  $W_k \equiv W_v$



## Формула внимания

$q$  — вектор-запрос, для которого хотим вычислить контекст

$K = (k_1, \dots, k_n)$  — векторы-ключи, сравниваемые с запросом

$V = (v_i, \dots, v_n)$  — векторы-значения, образующие контекст

$a(k_i, q)$  — оценка релевантности (сходства) ключа  $k_i$  запросу  $q$

$c$  — искомый вектор контекста, релевантный запросу

Модель внимания — это 3х-слойная сеть, вычисляющая выпуклую комбинацию значений  $v_i$ , релевантных запросу  $q$ :

$$c = \text{Attn}(q, K, V) = \sum_i v_i \text{SoftMax}_i a(k_i, q)$$

$c_t = \text{Attn}(\mathcal{W}_q h'_{t-1}, \mathcal{W}_k H, \mathcal{W}_v H)$  — пример с предыдущего слайда,  
где  $H = (h_1, \dots, h_n)$  — входные векторы,  $h'_{t-1}$  — выходной

Внутреннее внимание или «самовнимание» (self-attention):

$c_i = \text{Attn}(\mathcal{W}_q h_i, \mathcal{W}_k H, \mathcal{W}_v H)$  — частный случай, когда  $h_i \in H$

## Многомерное внимание (multi-head attention)

**Идея:**  $J$  разных моделей внимания совместно обучаются выделять различные аспекты входной информации (например, части речи, синтаксис, фразеологизмы):

$$c^j = \text{Attn}(\mathbf{W}_q^j q, \mathbf{W}_k^j H, \mathbf{W}_v^j H), \quad j = 1, \dots, J$$

**Варианты** агрегирования выходного вектора:

$$c = \frac{1}{J} \sum_{j=1}^J c^j \text{ — усреднение}$$

$$c = [c^1 \cdots c^J] \text{ — конкатенация}$$

$$c = [c^1 \cdots c^J] \mathbf{W} \text{ — чтобы вернуться к нужной размерности}$$

**Регуляризация:** чтобы аспекты внимания были максимально различны, строки  $J \times n$  матриц  $A$ ,  $\alpha_{ji} = \text{SoftMax}_i(a(\mathbf{W}_k^j h_i, \mathbf{W}_q^j))$ , декоррелируются ( $\alpha_s^\top \alpha_j \rightarrow 0$ ) и разреживаются ( $\alpha_j^\top \alpha_j \rightarrow 1$ ):

$$\|AA^\top - I\|^2 \rightarrow \min_{\{\mathbf{W}_k^j, \mathbf{W}_q^j\}}$$

---

Zhouhan Lin, Y.Bengio et al. A structured self-attentive sentence embedding. 2017.

## Иерархическое внимание (hierarchical attention)

Вложенная структура: слова  $\in$  предложения  $\in$  документы

$x_{it}$  — слова  $t = 1, \dots, T_i$  в предложениях  $i = 1, \dots, L$

**Сеть первого (нижнего) уровня**, обучение эмбедингов  $s_i$ :

$h_{it} = \text{BidirGRU}(W_0 x_{it})$  — GRU для векторизации слов

$u_{it} = \text{th}(W_1 h_{it} + b_1)$  — обучаемое преобразование Key

$s_i = \sum_t h_{it} \text{SoftMax}_t(u_{it}^\top q_1)$  — эмбединг предложения, Query  $q_1$

**Сеть второго (верхнего) уровня**, обучение эмбедингов  $v$ :

$h_i = \text{BidirGRU}(s_i)$  — GRU для векторизации предложений

$u_i = \text{th}(W_2 h_i + b_2)$  — обучаемое преобразование Key

$v = \sum_i h_i \text{SoftMax}_i(u_i^\top q_2)$  — эмбединг документа, Query  $q_2$

Максимизация правдоподобия для классификации документов:

$\sum_d \sum_y \ln \text{SoftMax}_y(W_y v + b_y) \rightarrow \max$

## Модель внимания Graph Attention Network (GAT)

**Задача** классификации вершин графа  $\langle V, E \rangle$  на классы  $Y$

**Обучающие данные:**  $b_{iy} = [\text{вершина } i \text{ в классе } y], i \in V, y \in Y$

$h_i$  — входные векторы признаков вершин  $i \in V$

$c_i$  — выходные векторы оценок вершин,  $\sigma(c_{iy}) = P(y|i)$

$\mathcal{N}(t)$  — множество соседей вершины  $t \in V$ , её контекст

**Многомерное самовнимание**,  $j = 1, \dots, J$ , на вершину  $t$ :

$$c_t = \frac{1}{J} \sum_{j=1}^J \sum_{i \in \mathcal{N}(t)} \mathbf{W}^j h_i \operatorname{SoftMax}_i \underbrace{\operatorname{LeakyReLU}(\mathbf{u}^j \mathbf{W}^j h_i + \mathbf{v}^j \mathbf{W}^j h_t)}_{a(\mathbf{W}^j h_i, \mathbf{W}^j h_t)}$$

Максимизация правдоподобия (log-loss) по всем параметрам

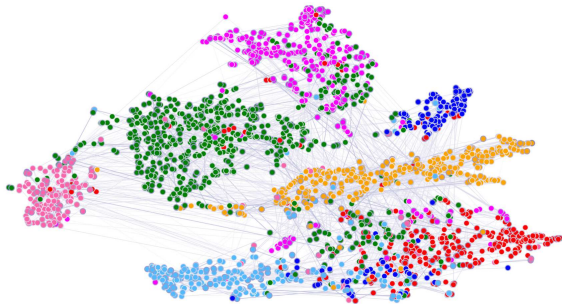
$\mathbf{W} = (\mathbf{W}^j, \mathbf{u}^j, \mathbf{v}^j)$  для multi-label классификации вершин графа:

$$\sum_{t \in V} \sum_{y \in Y} b_{ty} \ln \sigma(c_{ty}(\mathbf{W})) + (1 - b_{ty}) \ln \sigma(-c_{ty}(\mathbf{W})) \rightarrow \max_{\mathbf{W}}$$

## GAT решает задачи классификации вершин графа

Датасеты Cora, Citeseer, Pubmed для классификации научных статей по словам (признаки  $h_i$ ) и графу цитирования (ребра  $E$ ).

**Пример:** визуализация векторов  $c_i$  с помощью t-SNE, цвета точек — 7 классов, линии — коэффициенты внимания  $\alpha_{ti}$



## Трасформер для машинного перевода

Трасформер (transformer) — это нейросетевая архитектура на основе моделей внимания и полносвязных слоёв, без RNN

Схема преобразований данных в машинном переводе:

- $S = (w_1, \dots, w_n)$  — слова предложения на входном языке
  - ↓ обучаемая или пред-обученная векторизация слов
- $X = (x_1, \dots, x_n)$  — эмбединги слов входного предложения
  - ↓ трансформер-кодировщик
- $Z = (z_1, \dots, z_n)$  — контекстные эмбединги слов
  - ↓ трансформер-декодировщик, похож на кодировщика
- $Y = (y_1, \dots, y_m)$  — эмбединги слов выходного предложения
  - ↓ генерация слов из построенной языковой модели
- $\tilde{S} = (\tilde{w}_1, \dots, \tilde{w}_m)$  — слова предложения на выходном языке

## Архитектура трансформера-кодировщика

- Добавляются позиционные векторы  $p_i$ :

$$h_i = x_i + p_i, \quad H = (h_1, \dots, h_n) \quad \begin{matrix} d = \dim x_i, p_i, h_i = 512 \\ \dim H = 512 \times n \end{matrix}$$

- Многомерное самовнимание:

$$h_i^j = \text{Attn}(W_q^j h_i, W_k^j H, W_v^j H) \quad \begin{matrix} j = 1, \dots, J = 8 \\ \dim W_q^j, W_k^j, W_v^j = 64 \\ \dim H = 512 \end{matrix}$$

- Конкатенация:

$$h'_i = \text{MH}_j(h_i^j) \equiv [h_i^1 \cdots h_i^J] \quad \dim h'_i = 512$$

- Сквозная связь + нормировка уровня:

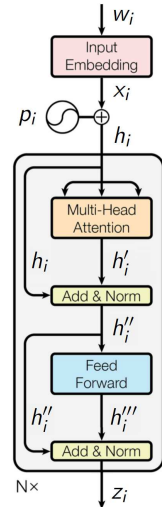
$$h''_i = \text{LN}(h'_i + h_i; \mu_1, \sigma_1) \quad \dim h''_i, \mu_1, \sigma_1 = 512$$

- Полносвязная 2x-слойная сеть FFN:

$$h'''_i = W_2 \text{ReLU}(W_1 h''_i + b_1) + b_2 \quad \begin{matrix} \dim W_1 = 2048 \times 512 \\ \dim W_2 = 512 \times 2048 \end{matrix}$$

- Сквозная связь + нормировка уровня:

$$z_i = \text{LN}(h'''_i + h''_i; \mu_2, \sigma_2) \quad \dim z_i, \mu_2, \sigma_2 = 512$$



## Несколько дополнений и замечаний

- вычисления параллельны по элементам последовательности  $(x_1, \dots, x_n) \rightarrow (z_1, \dots, z_n)$ , что было бы невозможно в RNN
- $N = 6$  блоков  $h_i \rightarrow \square \rightarrow z_i$  соединяются последовательно
- возможно использование пред-обученных эмбедингов  $x_i$
- возможно обучение эмбедингов  $x_i \in \mathbb{R}^d$  слов  $w_i \in V$ :  
 $x_i = u_{w_i}$  или в матричной записи  $X = U \cdot B$ , где  
 $V$  — словарь слов входных последовательностей,  
 $U$  — матрица обучаемых векторных представлений слов,  
 $b_{vi} = [w_i = v]$  — матрица бинарного (one-hot) кодирования
- нормировка уровня (Layer Normalization),  $x, \mu, \sigma \in \mathbb{R}^d$ :

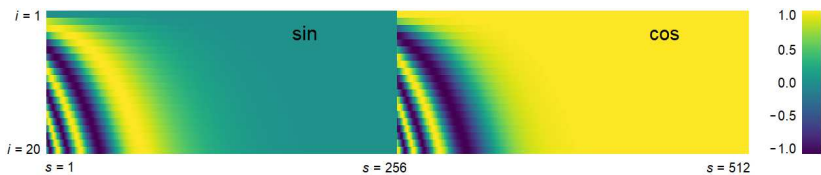
$$\text{LN}_s(x; \mu, \sigma) = \sigma_s \frac{x_s - \bar{x}}{\sigma_x} + \mu_s, \quad s = 1, \dots, d,$$

$$\bar{x} = \frac{1}{d} \sum_s x_s \quad \text{и} \quad \sigma_x^2 = \frac{1}{d} \sum_s (x_s - \bar{x})^2 \quad \text{— среднее и дисперсия } x$$

## Позиционное кодирование (positional encoding)

Позиции слов  $i$  кодируются векторами  $p_i$ ,  $i = 1, \dots, n$ , так, что чем больше  $|i - j|$ , тем больше  $\|p_i - p_j\|$ , и  $n$  не ограничено:

$$p_{is} = \sin(i 10^{-8 \frac{s}{d}}), \quad p_{i,s+\frac{d}{2}} = \cos(i 10^{-8 \frac{s}{d}}), \quad s = 1, \dots, \frac{d}{2}$$



Более современный способ учёта относительных позиций:

$$c_j = \text{Attn}(q_j, K, V) = \sum_i (v_i + w_{i \boxminus j}^V) \text{SoftMax}_i (k_i + w_{i \boxminus j}^K, q_j)$$

где  $i \boxminus j = \max(\min(i - j, \delta), -\delta)$  — усечённая разность,  $\delta = 5..16$

Vaswani et al. (Google) Attention is all you need. 2017.

Shaw, Uszkoreit, Vaswani. Self-attention with relative position representations. 2018.

## Архитектура трансформера декодировщика

Авторегрессионный синтез последовательности:

$y_0 = \langle \text{BOS} \rangle$  — эмбединг символа начала;

для всех  $t = 1, 2, \dots$ :

1. Маскирование «данных из будущего»:

$$h_t = y_{t-1} + p_t; \quad H_t = (h_1, \dots, h_t)$$

2. Многомерное самовнимание:

$$h'_t = \text{LN} \circ \text{MH}_j \circ \text{Attn}(\mathcal{W}_q^j h_t, \mathcal{W}_k^j H_t, \mathcal{W}_v^j H_t)$$

3. Многомерное внимание на кодировку  $Z$ :

$$h''_t = \text{LN} \circ \text{MH}_j \circ \text{Attn}(\tilde{\mathcal{W}}_q^j h'_t, \tilde{\mathcal{W}}_k^j Z, \tilde{\mathcal{W}}_v^j Z)$$

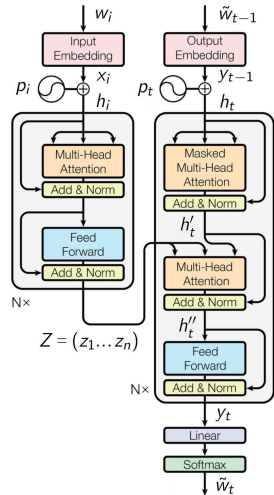
4. Двухслойная полносвязная сеть:

$$y_t = \text{LN} \circ \text{FFN}(h''_t)$$

5. Линейный предсказывающий слой:

$$p(\tilde{w}|t) = \text{SoftMax}_{\tilde{w}}(\mathcal{W}_y y_t + \mathcal{b}_y)$$

генерация  $\tilde{w}_t = \arg \max_{\tilde{w}} p(\tilde{w}|t)$  пока  $\tilde{w}_t \neq \langle \text{EOS} \rangle$



Vaswani et al. (Google) Attention is all you need. 2017.

## Критерии обучения и валидации для машинного перевода

**Критерий для обучения** параметров нейронной сети  $W$  по обучающей выборке предложений  $S$  с переводом  $\tilde{S}$ :

$$\sum_{(S, \tilde{S})} \sum_{\tilde{w}_t \in \tilde{S}} \ln p(\tilde{w}_t | t, S, W) \rightarrow \max_W$$

**Критерии оценивания моделей** (недифференцируемые) по выборке пар предложений «перевод  $S$ , эталон  $S_0$ »:

*BiLingual Evaluation Understudy:*

$$\text{BLEU} = \min \left( 1, \frac{\Sigma \text{len}(S)}{\Sigma \text{len}(S_0)} \right) \text{mean} \left( \prod_{n=1}^4 \frac{\#\text{n-грамм из } S, \text{ входящих в } S_0}{\#\text{n-грамм в } S} \right)^{\frac{1}{4}}$$

*Word Error Rate:*

$$\text{WER} = \text{mean}_{(S_0, S)} \left( \frac{\#\text{вставок} + \#\text{удалений} + \#\text{замен}}{\text{len}(S)} \right)$$

## BERT (Bidirectional Encoder Representations from Transformers)

Трансформер BERT — это кодировщик без декодировщика, предобучаемый для решения широкого класса задач NLP

Схема преобразования данных в задачах NLP:

- $S = (w_1, \dots, w_n)$  — токены предложения входного текста
  - ↓ обучение эмбедингов вместе с трансформером
- $X = (x_1, \dots, x_n)$  — эмбединги токенов входного предложения
  - ↓ трансформер кодировщика
- $Z = (z_1, \dots, z_n)$  — трансформированные эмбединги
  - ↓ дообучение на конкретную задачу
- $Y$  — выходной текст / разметка / классификация и т.п.

---

Jacob Devlin, Ming-Wei Chang, Kenton Lee, Kristina Toutanova (Google AI Language)  
BERT: pre-training of deep bidirectional transformers for language understanding. 2019.

## Критерий MLM (masked language modeling) для обучения BERT

Критерий маскированного языкового моделирования MLM, строится автоматически по текстам (self-supervised learning):

$$\sum_S \sum_{i \in M(S)} \ln p(w_i | i, S, \mathbf{W}) \rightarrow \max_{\mathbf{W}}$$

где  $M(S)$  — подмножество маскированных токенов из  $S$ ,

$$p(w | i, S, \mathbf{W}) = \operatorname{SoftMax}_{w \in V}(\mathbf{W}_z z_i(S, \mathbf{W}_T) + b_z)$$

— языковая модель, предсказывающая  $i$ -й токен предложения  $S$ ,  
 $z_i(S, \mathbf{W}_T)$  — контекстный эмбединг  $i$ -го токена предложения  $S$  на выходе Трансформера с параметрами  $\mathbf{W}_T$ ,  
 $\mathbf{W}$  — все параметры Трансформера и языковой модели

---

Jacob Devlin, Ming-Wei Chang, Kenton Lee, Kristina Toutanova (Google AI Language)  
BERT: pre-training of deep bidirectional transformers for language understanding. 2019.

## Критерий NSP (next sentence prediction) для обучения BERT

Критерий предсказания связи между предложениями NSP, строится автоматически по текстам (self-supervised learning):

$$\sum_{(S, S')} \ln p(y|S, S', W) \rightarrow \max_W,$$

где  $y|S, S' = [з\ а\ S\ с\ ледует\ S']$  — классификация пары предложений,

$$p(y|S, S', W) = \text{SoftMax}_{y \in \{0,1\}}(W_y \text{ th}(W_s z_0(S, S', W_T) + b_s) + b_y)$$

— вероятностная модель бинарной классификации пар  $(S, S')$ ,  
 $z_0(S, S', W_T)$  — контекстный эмбединг токена  $\langle \text{CLS} \rangle$  для пары предложений, записанной в виде  $\langle \text{CLS} \rangle S \langle \text{SEP} \rangle S' \langle \text{SEP} \rangle$

---

Jacob Devlin, Ming-Wei Chang, Kenton Lee, Kristina Toutanova (Google AI Language)  
BERT: pre-training of deep bidirectional transformers for language understanding. 2019.

## Ещё несколько замечаний про трансформеры

- **Fine-tuning:** для дообучения на задаче задаётся модель  $f(Z(S, \mathbf{W}_T), \mathbf{W}_f)$ , выборка  $\{S\}$  и критерий  $\mathcal{L}(S, f) \rightarrow \max$
- **Multi-task learning:** для дообучения на наборе задач  $\{t\}$  задаются модели  $f_t(Z(S, \mathbf{W}_T), \mathbf{W}_t)$ , выборки  $\{S\}_t$  и сумма критериев  $\sum_t \lambda_t \sum_S \mathcal{L}_t(S, f_t) \rightarrow \max$
- *GLUE, SuperGLUE, Russian SuperGLUE* — наборы тестовых задач на понимание естественного языка
- Трансформеры обычно строятся не на словах, а на токенах, получаемых BPE (Byte-Pair Encoding) или WordPiece
- Первый трансформер:  $N = 6$ ,  $d = 512$ ,  $J = 8$ , весов 65M
- BERT<sub>BASE</sub>, GPT1:  $N = 12$ ,  $d = 768$ ,  $J = 12$ , весов 110M
- BERT<sub>LARGE</sub>:  $N = 24$ ,  $d = 1024$ ,  $J = 16$ , весов 340M

- Модели внимания сначала встраивались в RNN, но позже оказалось, что они самодостаточны
- Модель внимания работает точнее и быстрее RNN;
- легко предобучается и используется для многих задач;
- легко обобщается на тексты, графы, изображения
- Доказано, что модель внимания multi-head self-attention (MHSA) эквивалентна свёрточной сети [Cordonnier, 2020]
- Модель внимания лежит в основе Трансформера, различные варианты которого являются наиболее удачными моделями для понимания естественного языка: BERT, GPT-2/3/4, XLNet, ELECTRA и др.

---

Vaswani et al. Attention is all you need. 2017.

Dichao Hu. An Introductory Survey on Attention Mechanisms in NLP Problems. 2018.

Xipeng Qiu et al. Pre-trained models for natural language processing: A survey. 2020.

Cordonnier et al. On the relationship between self-attention and convolutional layers. 2020